

Adaptado a la normativa para la elaboración del TFG/TFM de la EIIIA

Forma de la cita en el texto:

La cita se pondrá debajo de la figura, gráfico, tabla, precedida de un texto explicativa de la misma.

El número de la cita será el que le corresponda según el orden de todas las citas del trabajo. No llevan numeración distinta del resto de las referencias.




Referencias:




Las referencias se ponen al final del trabajo según el orden que les corresponda, sin diferenciar de las referencias bibliográficas incluidas en el texto del trabajo.

Las referencias se hacen de la fuente de donde se ha tomado la imagen. Estas pueden ser: un libro, artículo de revista, etc., (impreso o en línea). También pueden ser imágenes sacadas de un archivos fotográficos, una imagen de internet, etc.

Referencias secundarias:

Cuando se quiera citar una imagen, un gráfico, etc. que, a su vez está referenciado en el documento que se está consultando, se deberá acudir siempre al documento fuente original. Así, en el ejemplo de la referencia [3], la fig. 5 (p. 1684) no es original. Si se quiere citar este ventilador axial con cuchillas, habrá que localizar el documento fuente, referencia [39] en el artículo que se está consultando. La nueva cita tendrá un nuevo número de orden, que será el que le corresponda en nuestro trabajo.

DOCUMENTO FUENTE	Cita	Referencia	Ejemplo
Gráfico	Figura 1.1. Modulación de impulsos múltiples (Fuente: [1, p. 177])	[1] J. Fraile Mora y J. Fraile Ardanuy, Accionamientos eléctricos . Madrid: Garceta, 2016.	
	Figura 1.2. Precios de energía para agregador PLyDG (Fuente: [2, Fig. 9])	[2] N. Neyestani, M. Y. Damavandi, M. Shafie-Khah, A. G. Bakirtzis and J.P.S. Catalao, "Plug-in electric vehicles parking lot equilibria with energy and reserve markets," <i>IEEE Trans. Power Syst.</i> , vol. 32, no. 3, pp.2001-2015, May, 2017, doi: 10.1109/TPWRS.2016.2609416.	
Imagen	Figura 1.2.1. Ventilador optimizado (Fuente: [3, fig. 15 a])	[3] Y. Gai <i>et al.</i> "Cooling of automotive traction motors: schemes, examples, and computation method," <i>IEEE Trans. Ind. Electron.</i> , vol. 66, no. 3, pp. 1681-1692, Mar. 2019, doi: 10.1109/TIE.2018.2835397.	

DOCUMENTO FUENTE	Cita	Referencia	Ejemplo
Imagen en línea	Figura 1. Satélite de la NASA de seguimiento de CO2 (Fuente: [4])	[4] NASA, <i>NASA's CO2-Tracking Satellite Deconstructs Earth's Carbon Cycle</i> . Accedido: 30 abr., 2019. [En línea]. Disponible en: https://media.wired.com/photos/59de88ac9a97fd31a79013b2/master/pass/satellite-TA.jpg	
	Figura 2. Dibujo de tres perspectivas de Aeródromo (Fuente: [5])	[5] S. P. Langley, <i>Aerodrome A, Three-View Drawing</i> . Accedido: 10 jun., 2019. [En línea]. Disponible en: https://airandspace.si.edu/sites/default/files/styles/slideshow_xlg/public/images/collection-objects/record-images/NASM-SI-2003-33202.jpg?itok=tCQm8M5X	
Tabla obtenida de un artículo en línea	Tabla 3.1. Comparación de rendimiento para la operación de lectura en MTJ-LUT de 4 entradas (Fuente: [6])	[6] R. Zand, A. Roohi, D. Fan and R. F. De Mara, "Energy- efficient nonvolatile reconfigurable logic using spin hall effect-based lookup tables," <i>IEEE Trans. Nanotechnol.</i> , vol. 16, no 1, pp.32-43, Jan. 2017. [En línea]. Disponible en: https://ieeexplore.ieee.org/document/7737024/	
Tabla obtenida de internet	Tabla 4. Evolución precios de aeronaves de combate USA (Fuente: [7])	[7] <i>Autopilot, US combat aircraft prices</i> . Accedido: 10 jun., 2019. [En línea]. Disponible en: https://upload.wikimedia.org/wikipedia/commons/thumb/c/cb/Augustine%27s_law.svg/720px-Augustine%27s_law.svg.png	